

XXIII.A.242

Измерительно-Вычислительные Системы с Искусственным Интеллектом и стандарты оценивания параметров объектов



**Е.Н. Терентьев, Ф.В. Шугаев, Н.Е. Шилин-
Терентьев, Е.Д. Балабан**

*Физический факультет МГУ им. М.В.
Ломоносова, en.teren@mail.ru;*



Стандарты по высокоточному оцениванию параметров объектов нужны дистанционных исследованиях при анализе космических изображений и в литографическом оборудовании для производства памяти и процессоров. Для этого в Мат. Обеспечении Измерительно Вычислительных Систем (МО ИВС) предлагаем использовать методы Градиентной Морфологии (ГМ) и методы Микроскопа с Искусственным Интеллектом Физик (МАИР)..

1D КМТО от линейной алгебры к матанализу (AIP)

1D Теорема (Терентьев): даны 3 объекта: массив (строка) отсчетов $D=f(x0)$ и две матрицы: с ортонормированным базисом Фурье (в строках) $H=H^{(0)}(x0)$, $x0=0 : N-1$ и матрица Фурье гармоник $H^{(n)}(x)$, $x=0 : dx : N-dx$, тогда “непрерывная” функция $dx < 1$

$$f^{(n)}(x) = (H D')' H^{(n)}(x) \text{ (AIP)}$$

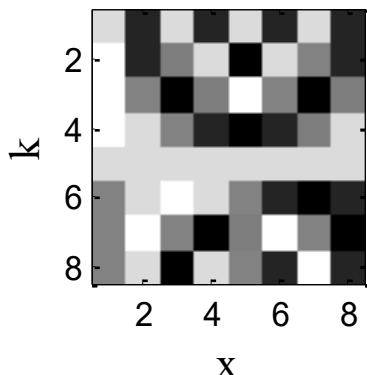
при $n = 0$ проходит через точки отсчетов $D=f(x0)=f^{(0)}(x0)$.

Фурье гармоники базиса

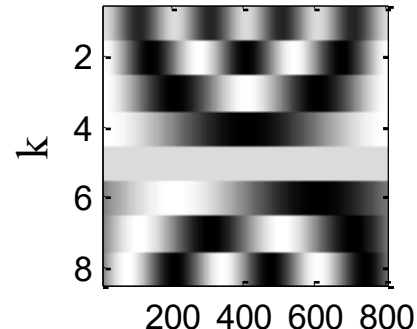
Интерполяция

Дифференцирование

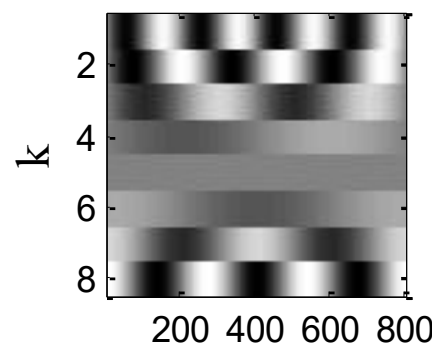
Интегрирование



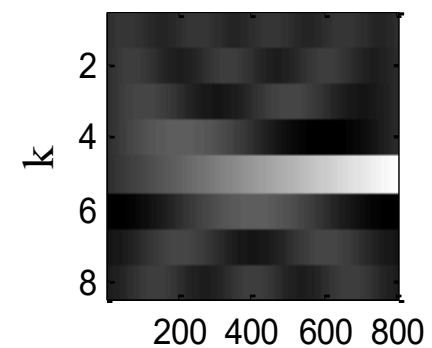
$$H^{(0)}(x0), N=8, dx=1$$



$$H^{(0)}(x), N=8, dx=0.01$$



$$H^{(1)}(x), N=8, dx=0.01$$



$$H^{(-1)}(x), N=8, dx=0.01$$

1D КМТО продолжение

В $f^{(n)}(x)$ внутри скобок $(H D')$ ' мы вычисляем столбец Фурье коэффициентов или реализуем Прямое ПФ в строку Фурье коэффициентов с учетом транспонирования $0'$. Далее мы реализуем ряд Фурье с Фурье гармониками $H^{(n)}(x)$.

Если ряд Фурье мы будем реализовать с базисными векторами H , то мы возвратимся к исходным отсчетам $D = f(x0) = f^{(0)}(x0)$ потому, что H – унитарная матрица $H^{-1} = H'$.

Если ряд Фурье мы реализуем с гармониками $H^{(n)}(x)$, то при $n > 0$ мы вычислим производную n -го порядка, а при $n < 0$ мы вычислим интеграл n -го порядка от массива чисел D !!!

Во всех случаях ($n=0$, $n>0$, $n<0$) результат может быть “непрерывным” при оцифровке Фурье гармоник $H^{(n)}(x)$ с малым шагом $dx < 1$.

Интегральные суммы и конечно-мерные разности отсутствуют !!!

3D КМТО в операциях Теории Поля (AIP)

3D Теорема (Терентьев): **даны** 3 объекта: 3D массив отсчетов $D=f(x0,y0,z0)$ и две матрицы: с ортонормированным базисом Фурье (в строках) $H=H^{(0)}(x0)$, $x0=0 : N-1$ и матрица Фурье гармоник $H^{(n)}(x)$, $x=0 : dx : N-dx$, **тогда** “непрерывная” функция $dx < 1$

$$f^{(nx,ny,nz)}(x,y,z) = \sum_{k_x,k_y,k_z=1}^N c_{k_x,k_y,k_z} * H^{(n_x)}(k_x,x) * H^{(n_y)}(k_y,y) * H^{(n_z)}(k_z,z), \quad (1)$$

$$\begin{aligned} c_{k_x k_y k_z} &= (f(x0,y0,z0), H^{(0)}(k_x,x0) * H^{(0)}(k_y,y0) * H^{(0)}(k_z,z0)) = \\ &= \sum_{x0,y0,z0=1}^N f(x0,y0,z0) * H^{(0)}(k_x,x0) * H^{(0)}(k_y,y0) * H^{(0)}(k_z,z0), \quad k_x,k_y,k_z = 1:N. \end{aligned} \quad (2)$$

при $n_x=0$, $n_y=0$, $n_z=0$ проходит через точки отсчетов

$$D=f(x0,y0,z0)=f^{(0,0,0)}(x0,y0,z0).$$

3D КМТО продолжение

Скалярные произведения (2) реализуют 3D Прямое ПФ, а рядами Фурье реализуется нужная (nx,ny,nz) 3D операция с интерполяцией, если $dx < 1$.

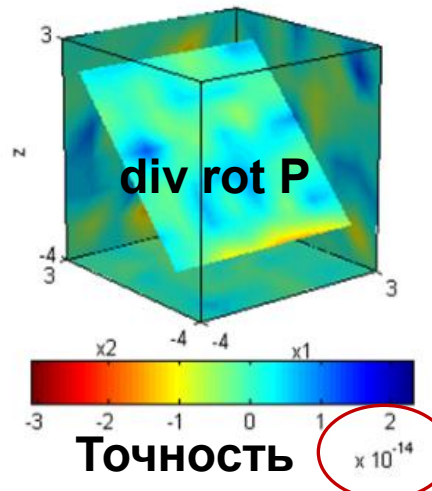
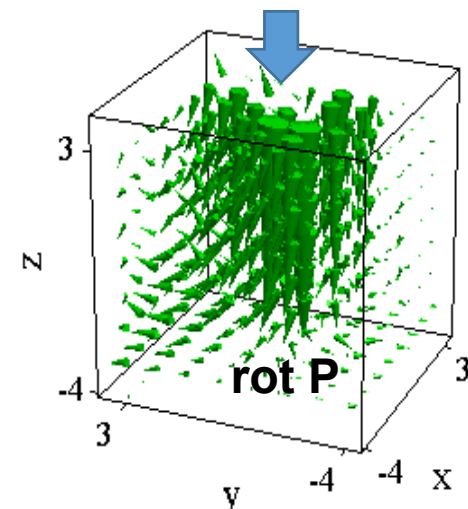
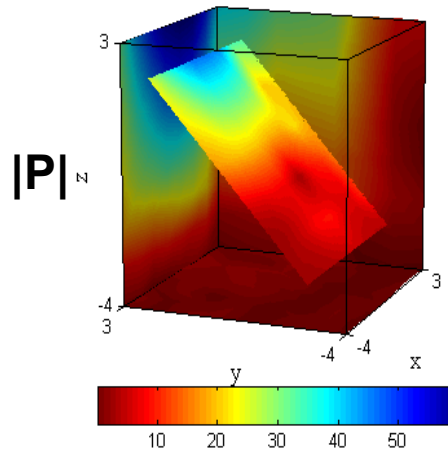
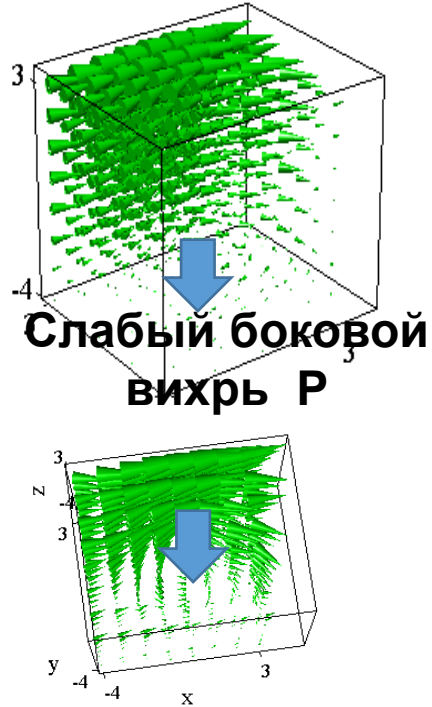
При $(nx, ny, nz) = (0, 0, 0)$ и $dx = 1$ в (1) реализуется Обратное ПФ к исходному 3D массиву данных $D = f(x_0, y_0, z_0) = f^{(0,0,0)}(x_0, y_0, z_0)$.

$$grad D(x, y, z) = \left\{ \frac{\partial}{\partial x} D, \frac{\partial}{\partial y} D, \frac{\partial}{\partial z} D \right\} = \left\{ f^{(1,0,0)}(x, y, z), f^{(0,1,0)}(x, y, z), f^{(0,0,1)}(x, y, z) \right\}$$

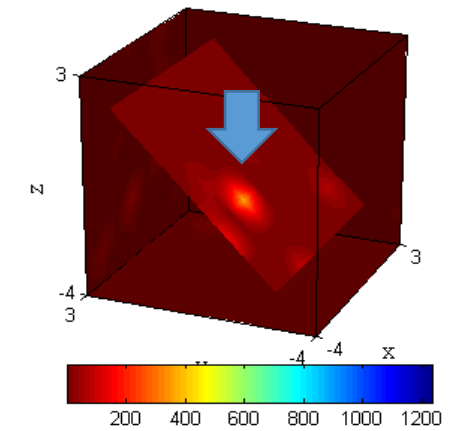
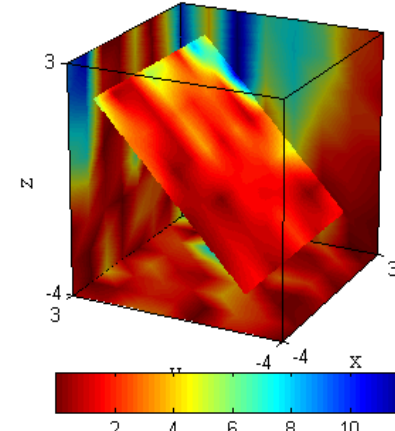
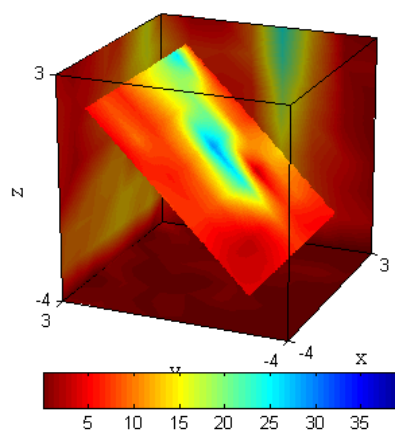
Аналогично реализуются другие операции теории поля: *div* и *rot*.

Все операции Теории Поля реализованы на Мат Лабе в Защищенном Режиме, т.е. без краевых эффектов из-за ФП.

Локализация вихря с его осью вращения, отношение SNR



$$\text{SNR}(P) = |\text{rot } P| / |\text{div } P|$$

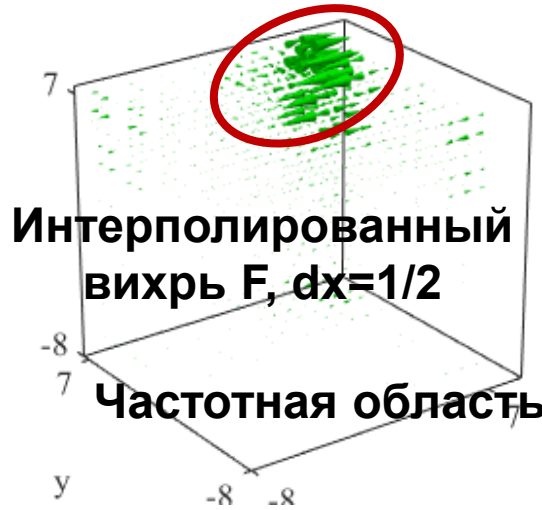


$$|\text{rot } P|$$

$$|\text{div } P|$$

$$\text{argmaxSNR}(P)$$

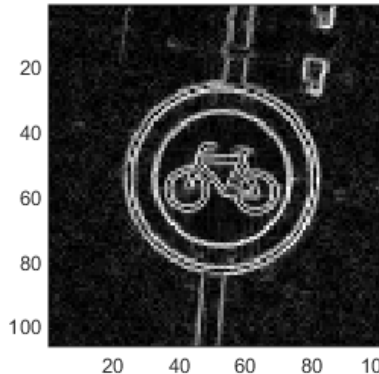
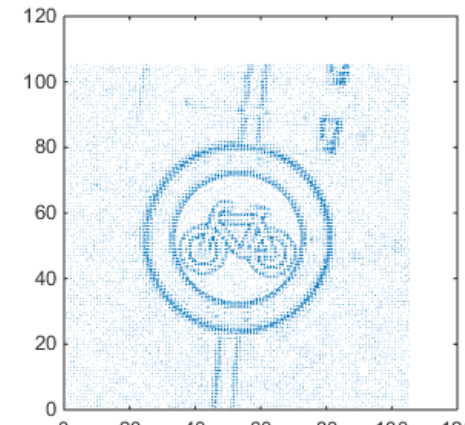
Интерполяции и вихри в частотной области



Основные понятия ГМ

$$SNR(f|X) = [fc]^2 / [fs]^2$$

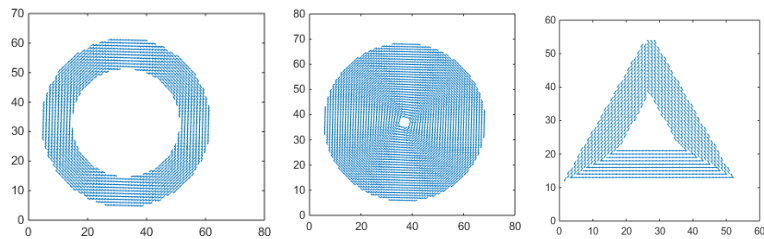
$$aSNR(f|X) = \text{atan2}([fc], [fs])$$



В фрагмент - ДЗ в синем

$gB = \text{grad } B$

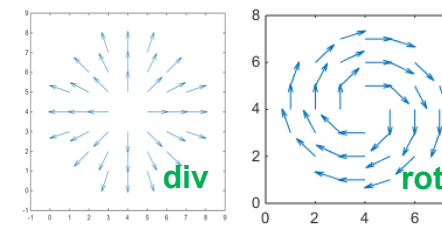
$|gB| = |\text{ogB}|$



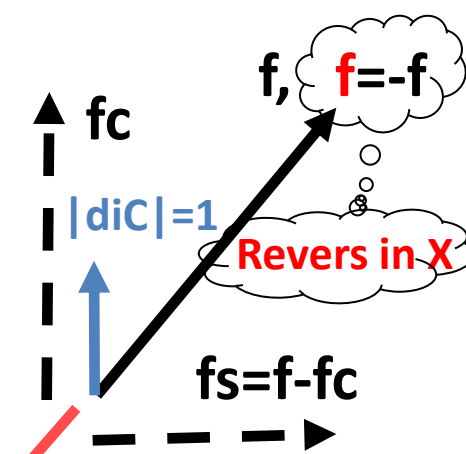
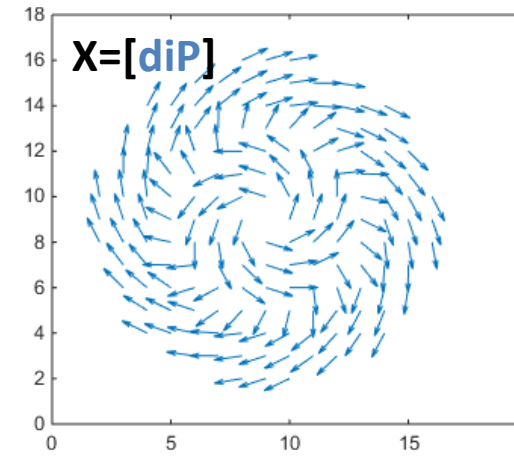
Шаблоны $X = [\text{diC}], [\text{diT}], [\text{diR}]$



ogB is the rotation of gB on $\pi/2$

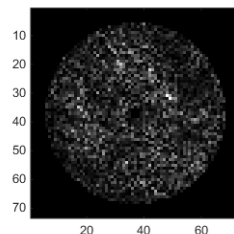
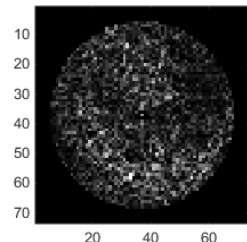
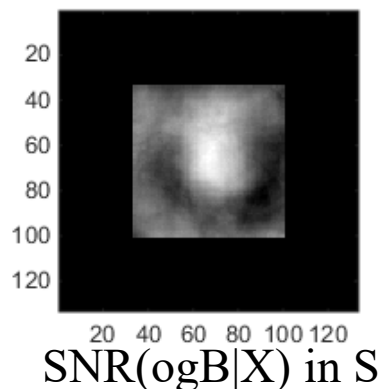
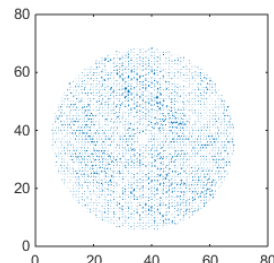
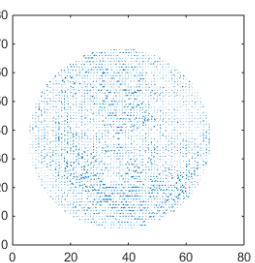
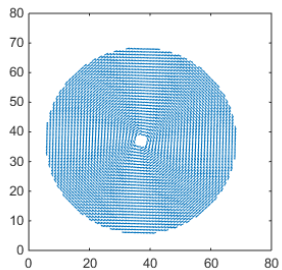
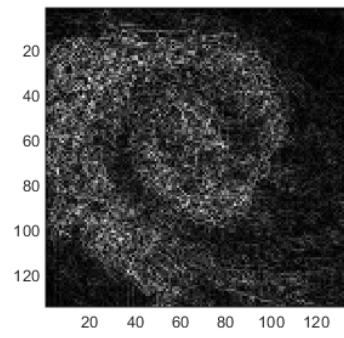
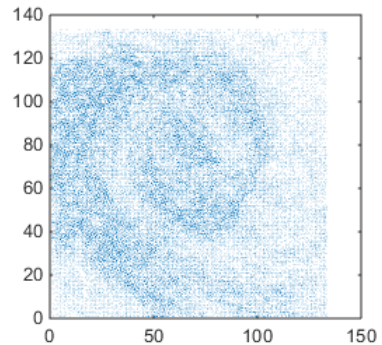
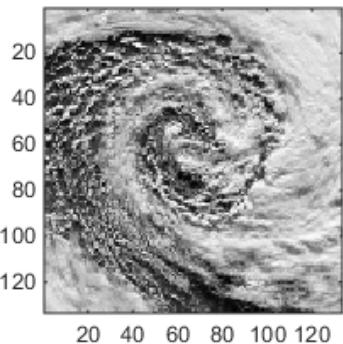


COS fc и SIN fs проекции на diC направления в $X = [\text{diC}]$



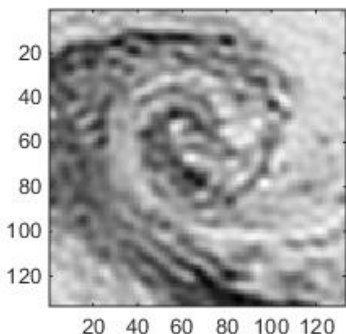
Координаты объекта $(x_0, y_0) = \text{argmaxSNR}(f|X)$, области S – сканированием шаблоном X

Вихри в космических снимках

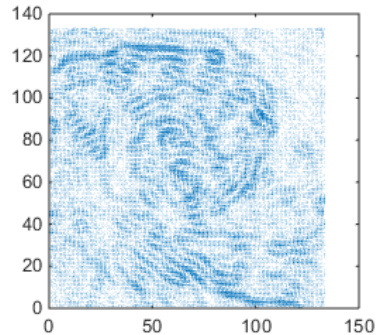


In 100%
frequency
band

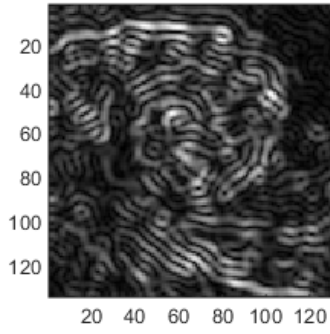
Вихри в космических снимках



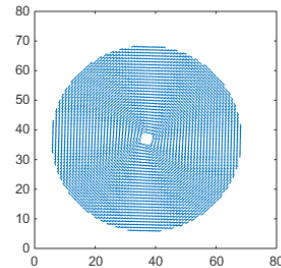
30% LF B



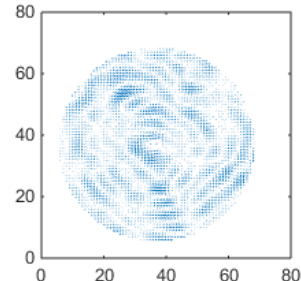
$gB = \text{grad } B, f = ogB$



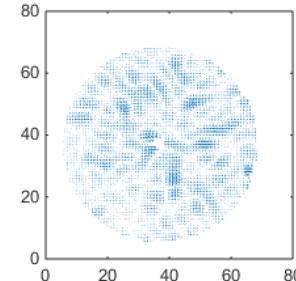
$|gB| = |ogB|$



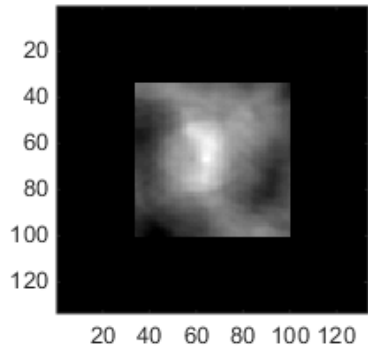
Шаблон $X = [diC]$



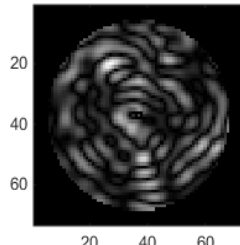
Signal f_c



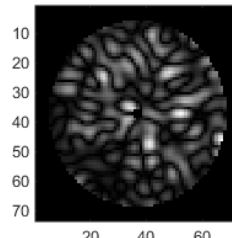
Noise f_s



$\text{SNR}(ogB|X) \text{ in } S$

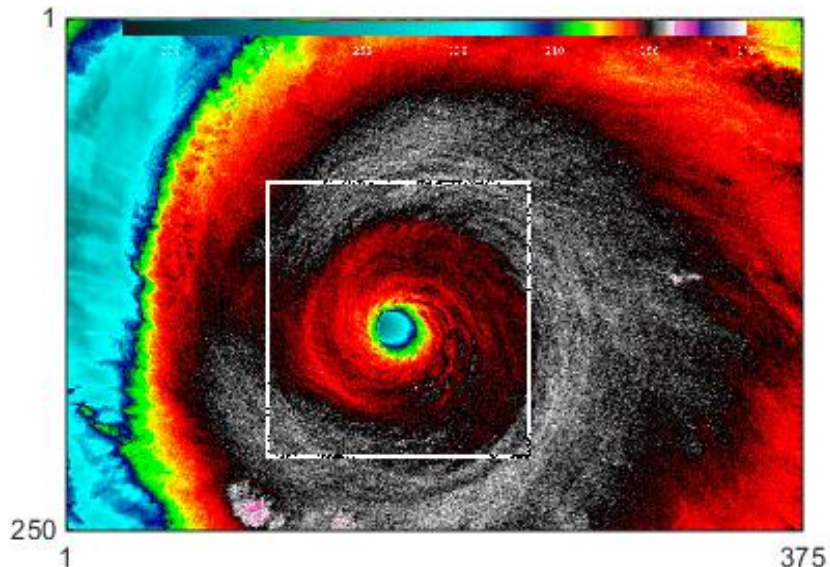


$|f_c|$

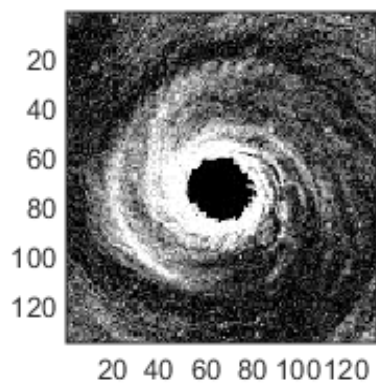
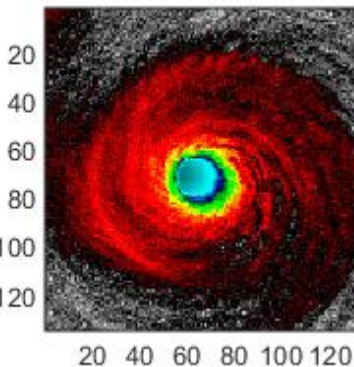


$|f_s|$

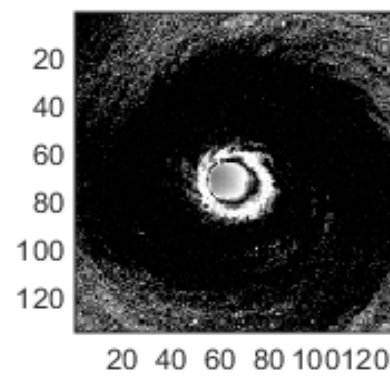
30% Low Frequency B



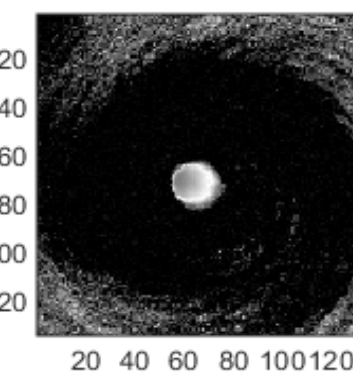
Вихри в ИК диапазоне



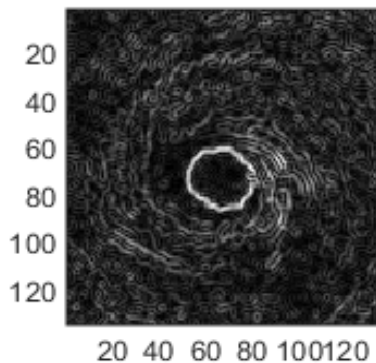
R



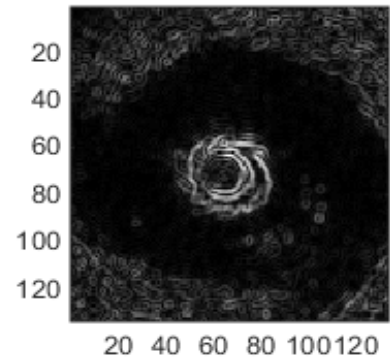
G



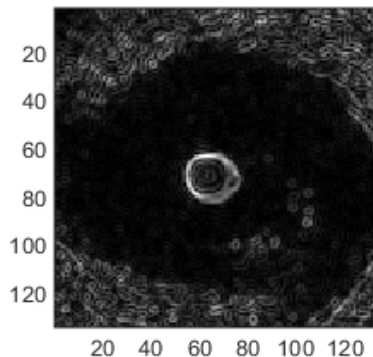
B



|gR|

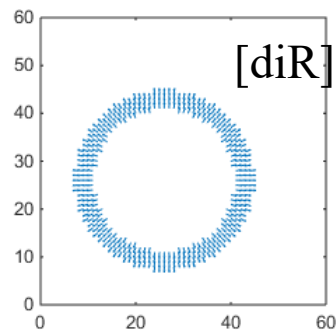
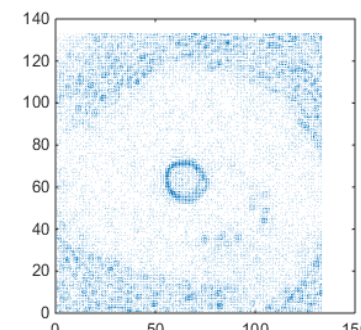
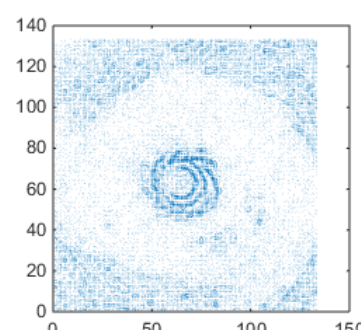
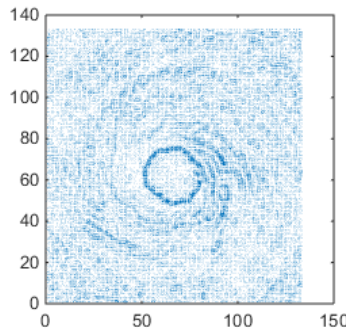


|gG|

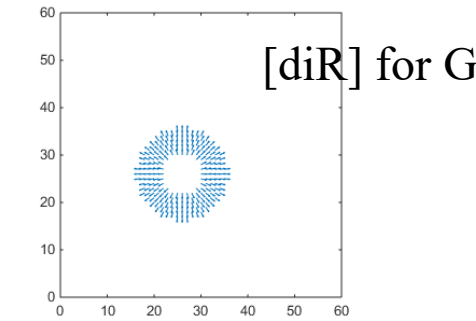
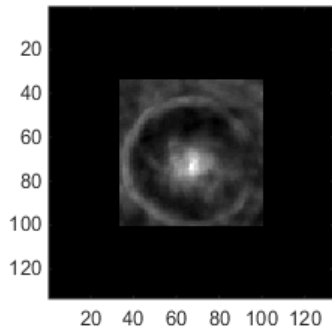


|gB|

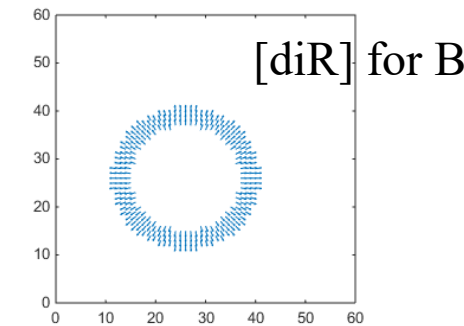
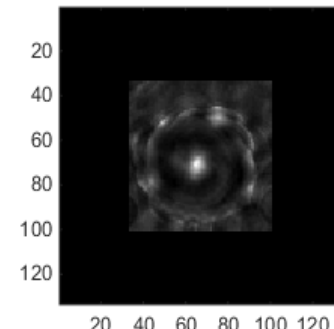
Параметры вихрей в изображениях ИК диапазона



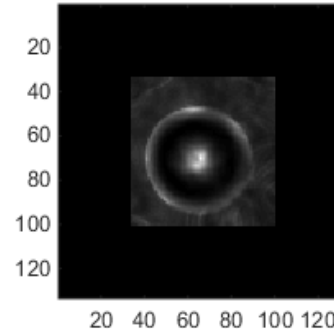
maxSNR~2.64



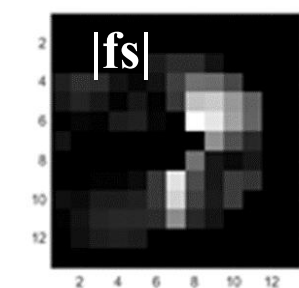
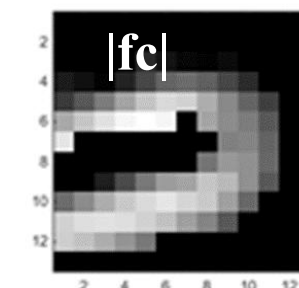
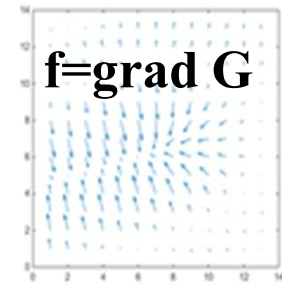
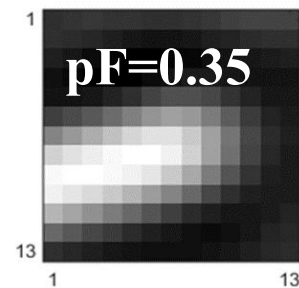
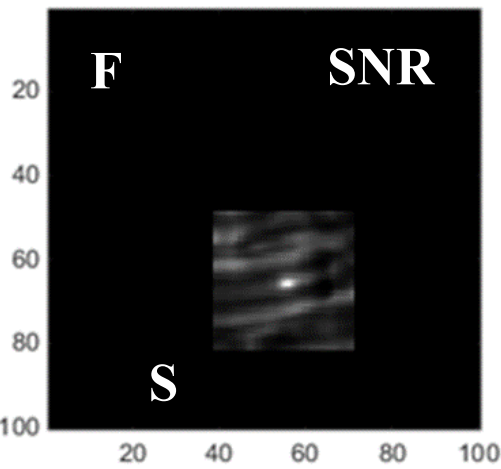
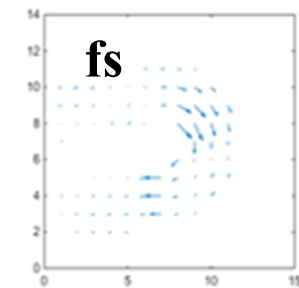
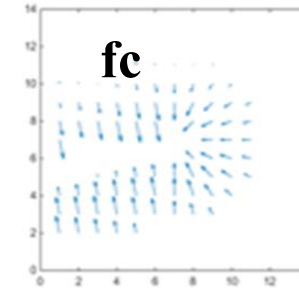
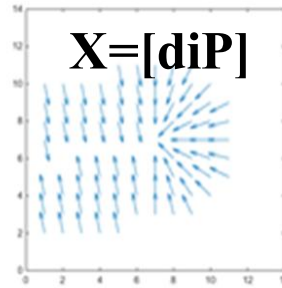
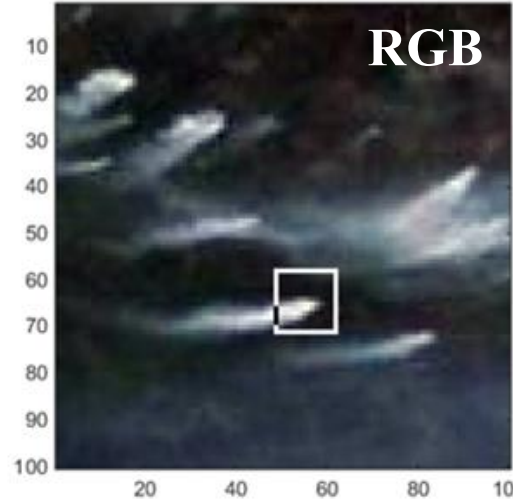
maxSNR~3.51



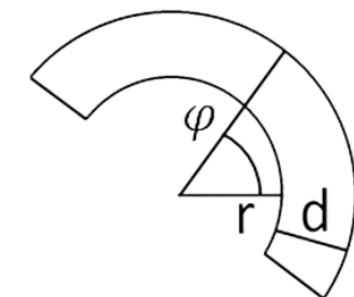
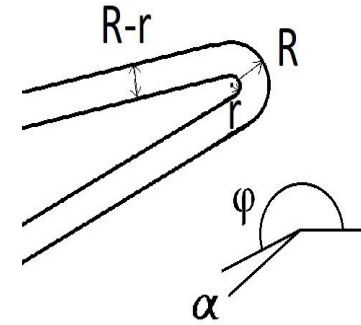
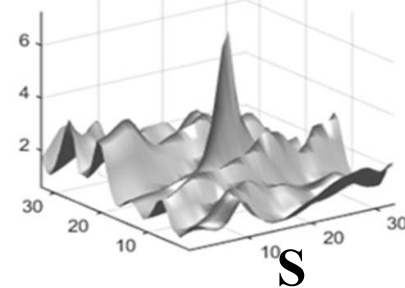
maxSNR~5.46



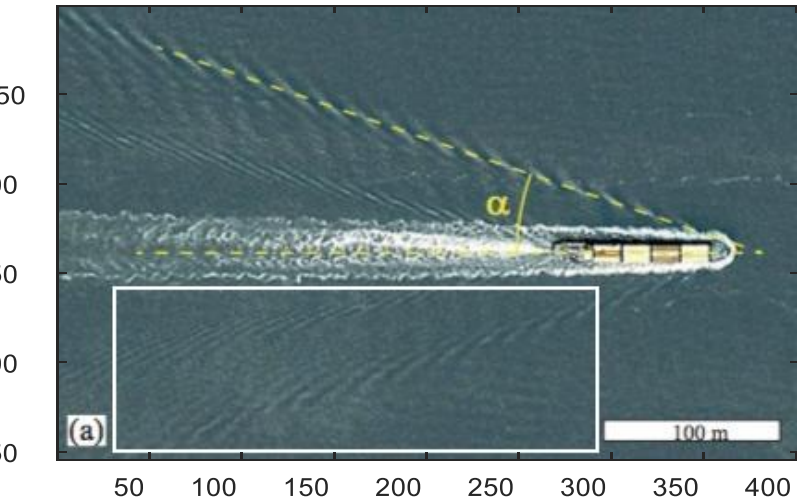
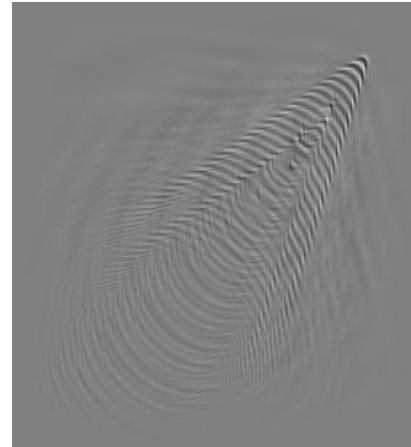
Локализация пожаров с дымовыми шлейфами в космических изображениях (Пожары в Сибири)



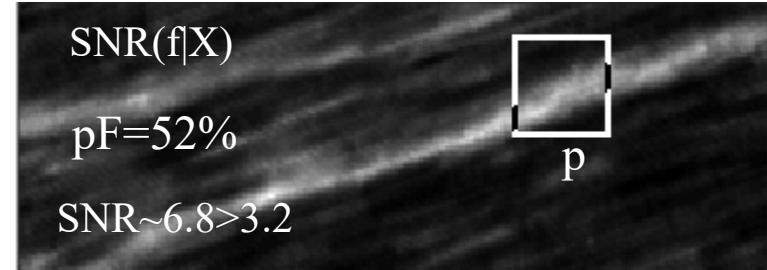
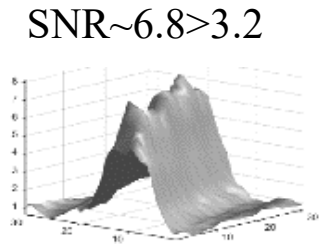
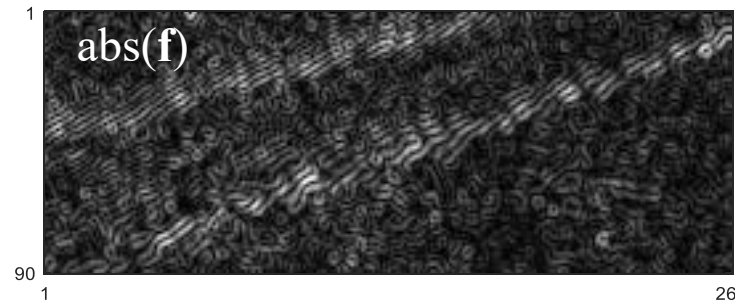
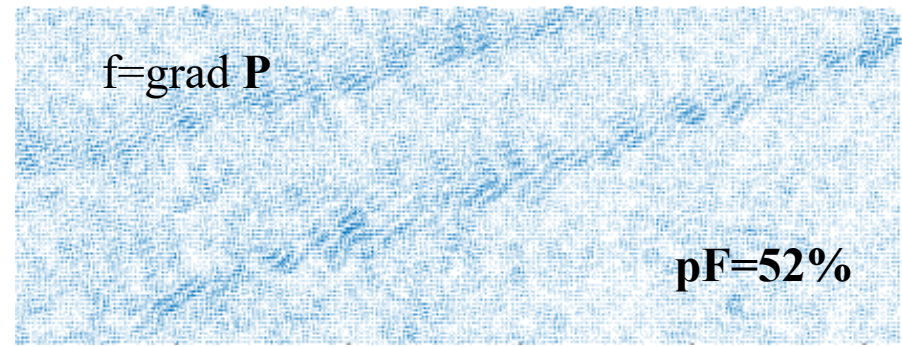
maxSNR~6.9



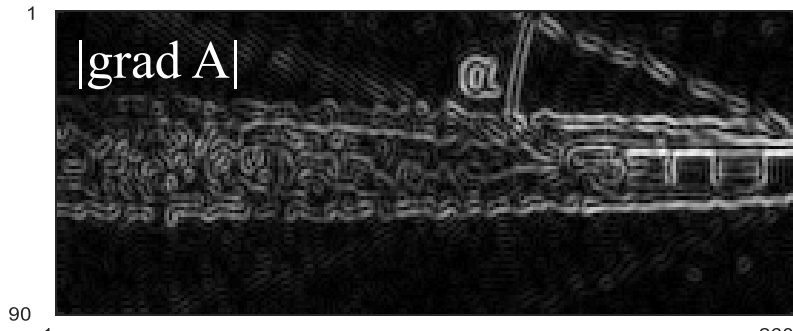
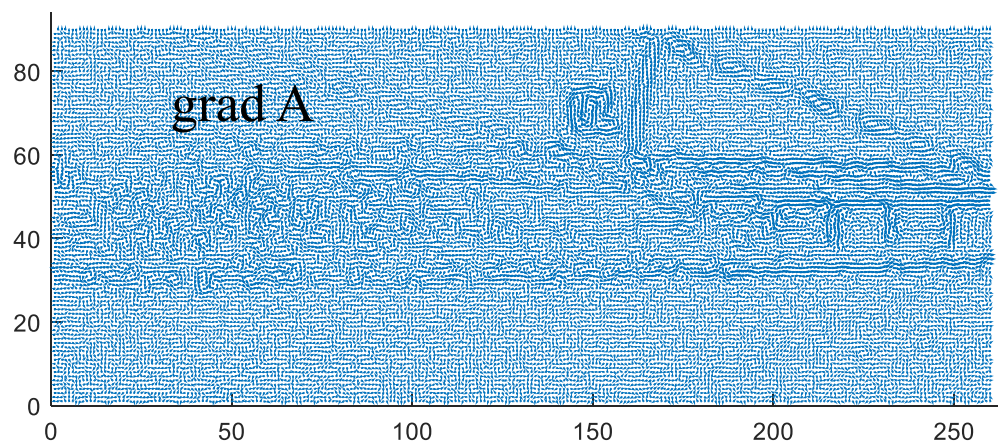
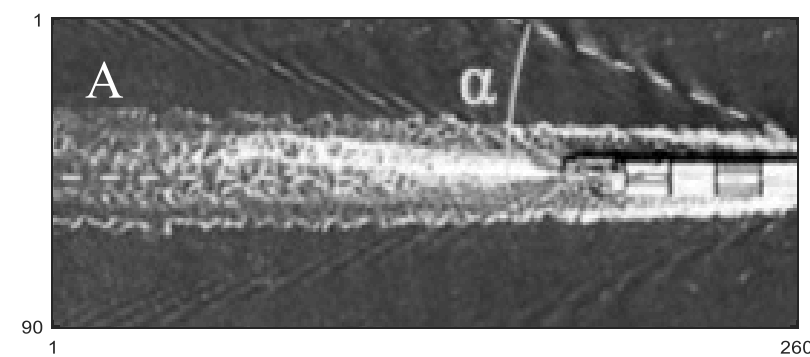
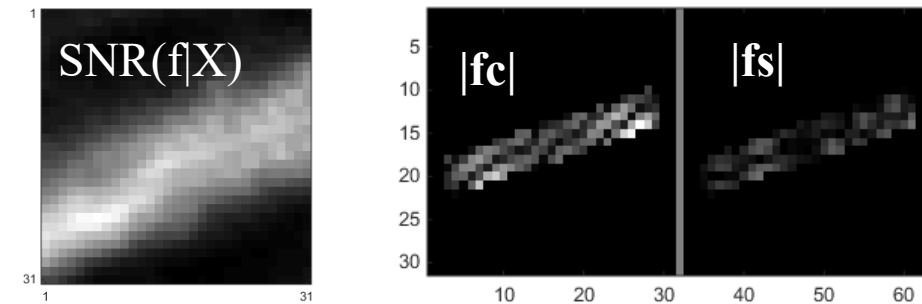
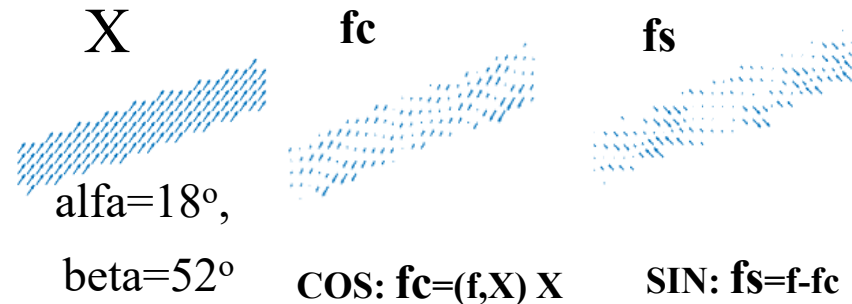
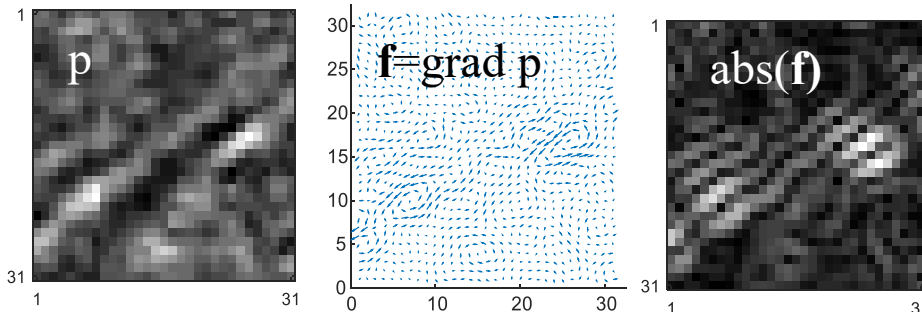
Параметры формы кильватерных следов кораблей



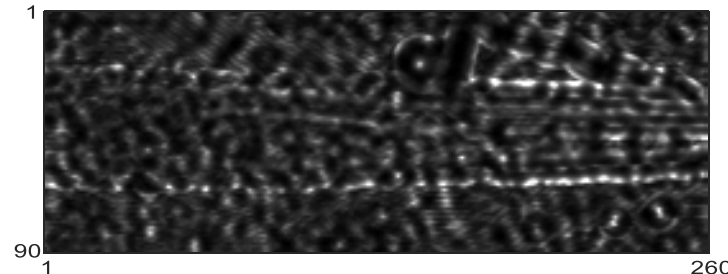
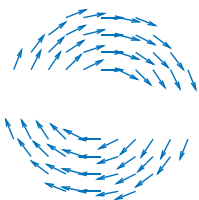
$$f = \text{grad } P$$



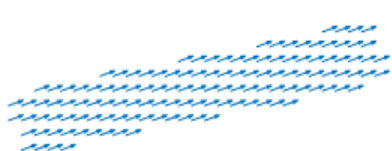
Шаблоны формы кильватерных следов кораблей



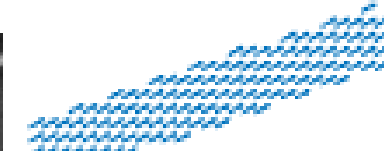
Шаблоны граничных меток пенных шлейфов кораблей



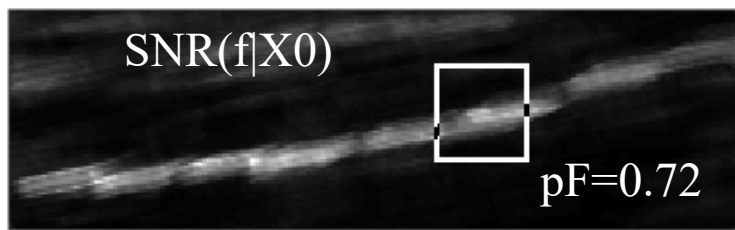
Настройка углов векторов в шаблоне, переменные шаблоны



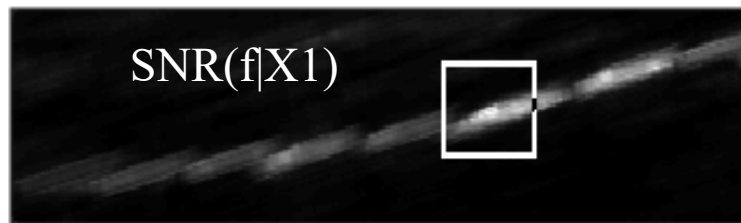
$X0: \alpha=10^\circ, \beta=18^\circ$



$X1: \alpha=18^\circ, \beta=28^\circ$

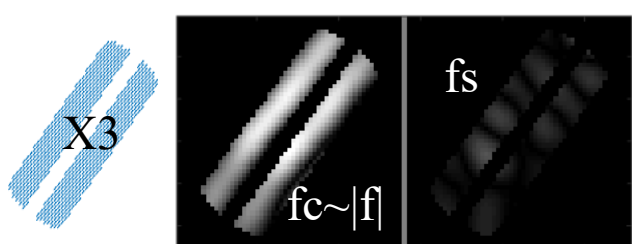
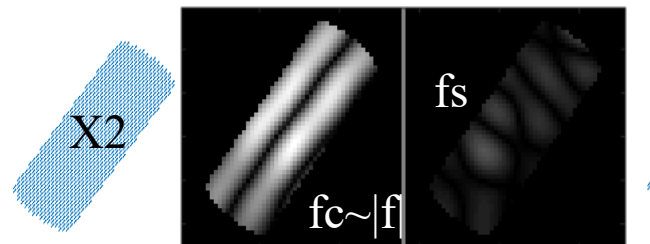
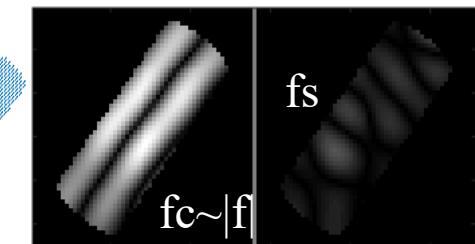
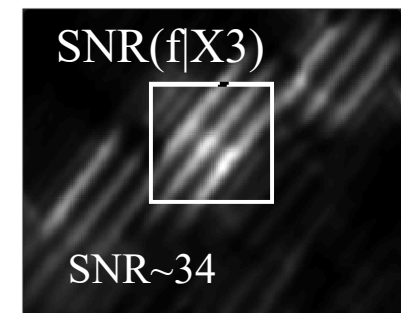
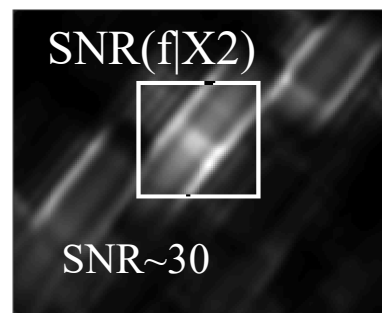
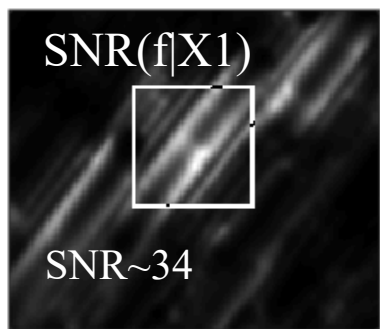
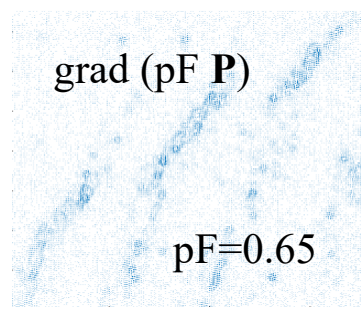
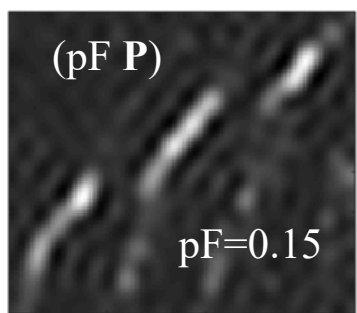
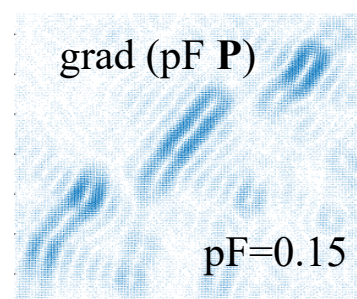
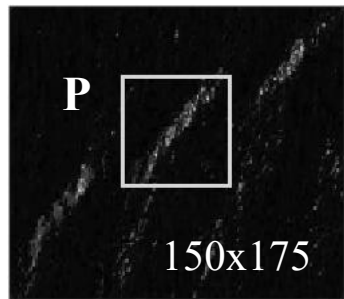


$SNR \sim 35 > 24$

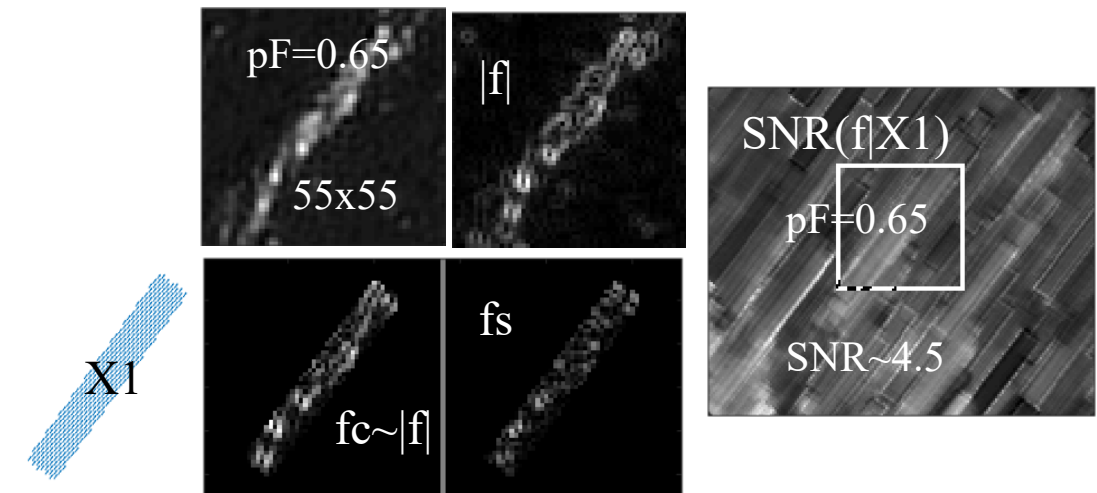


$SNR \sim 70 > 25$





На каких данных кильватерных следов ГМ плохо работает?



Обсуждение

Методы градиентной морфологии превосходят на порядок по точности локализации, например, обычные морфологические и корреляционные методы [1]. Для успешной работы методов ГМ требуется настройка (параметров) шаблонов и для фильтрация одиночных точек в исходных изображениях подбор параметр $pF > 0$.

Актуально

создание широкого спектра технических устройств со встроенными вычислителями для решения прикладных задач.

Выводы

методы ГМ найдут широкие применения в решении задач геофизики, волновой физики, в электродинамике, астрофизике и т.п

References

1. Terentiev, E.N., Terentiev, N.E. // PROCESSES IN GEOMEDIA, 2016. №4(9) (in Russian).
2. Terentiev, E.N., Terentiev, N.E., Farshakova, I.I. // Springer International Publishing, DOI: 10.1007/978-3-319-77788-7_19C.
3. Terentiev, E.N., Shilin-Terentyev, N.E., Prikhodko, I.N., Farshakova, I.I. // SCIENTIFIC NOTES OF THE PHYSICAL FACULTY OF MOSCOW UNIVERSITY, №5 1850308, 2018 (in Russian)
4. Terentiev, E.N., Shilin-Terentyev, N.E. // SCIENTIFIC NOTES OF THE PHYSICAL FACULTY OF MOSCOW UNIVERSITY, №5 1850306, (2018) (in Russian)
5. E. N. Terentiev, I. N. Prikhodko, I. I. Farshakova, I. D. Kuznetsov, N. E. Shilin-Terentiev//Springer, Cham, doi.org/10.1007/978-3-030-11533-3_30
6. E. N. Terentiev, I. García-Magariño, N. E. Shilin-Terentyev, I. N. Prikhodko, I. I. Farshakova//Information and Computer Security (2018) Volume 1, (<http://systems.enpress-publisher.com/index.php/ICS/article/view/1025>)

Email: en.teren@mail.ru; сотовый: +7 966 077 11 97